

基于 FPGA 的 CAN 总线通信节点设计

张培坤^{1,2}, 高伟¹, 宋宗喜¹, 陈楚君^{1,2}

(1. 中国科学院西安光学精密机械研究所, 陕西西安 710119; 2. 中国科学院研究生院, 北京 100039)

摘要:以 FPGA 代替传统的单片机和外围扩展芯片, 给出了 CAN 总线通信节点的详细设计方案。其中以 SJA1000 为 CAN 总线控制器、FPGA 为主控制器, 设计实现通信节点的硬件接口电路。基于对 CAN 总线控制器的功能分析, 并应用 Verilog 语言进行软件设计, 从而实现 CAN 节点之间的通信功能。

关键词: CAN 总线; FPGA; SJA1000; Verilog

中图分类号: TP336 文献标识码: A 文章编号: 1002-1841(2010)12-0068-03

Design of CAN Bus Communication Note Based on FPGA

ZHANG Pei-kun^{1,2}, GAO Wei¹, SONG Zong-xi¹, CHEN Chu-jun^{1,2}

(1. Xi'an Institute of Optics Precision Mechanics, Chinese Academy Sciences, Xi'an 710119, China;

2. Graduate School, Chinese Academy of Sciences, Beijing 100684, China)

Abstract: Instead of the SCM and peripheral chips, FPGA was adopted to implement the interface circuit of CAN communication note equipment as the core control cell, while SJA1000 was the CAN controller. Through analyzing the CAN bus controller and utilizing the FPGA technology, the design successfully actualized the communication between CAN notes, and the RTL code was described by using Verilog HDL.

Key words: CAN bus; FPGA; SJA1000; Verilog

0 引言

CAN 总线允许高达 1 Mbit/s 通讯速率, 支持多主通讯模式, 有高抗电磁干扰性而且能够检测到通信过程中产生的任何错误, 已被广泛应用到各自动化控制系统中^[1]。在项目的特殊环境要求下, CAN 总线通信要求使用 FPGA 作为系统中的主控制器, 较之传统设计使用的单片机, FPGA 能够在速度和体积上有更好的适应性。FPGA 一方面减少了电路板的复杂程度, 缩短了实现周期; 另一方面, 其丰富的资源、超高的性能和灵活的可编程性, 提高了整个设备的可靠性, 大大增强了电路板设计的灵活性和可扩展性。文中通过设计 FPGA 的接口电路, 并利用 Verilog 语言来编程实现 CAN 节点之间的通信功能。

1 CAN 接口硬件设计

1.1 CAN 节点的系统构成

一般来说, 每个 CAN 模块能够被分成 3 个不同的功能块, 其结构如图 1 所示^[2]。CAN 总线收发器提供 CAN 协议控制器与物理总线之间的接口, 控制从 CAN 控制器到总线物理层或相反的逻辑电平信号。它的性能决定了总线接口、总线终端、总线长度和节点数, 是影响整个总线网络通信性能的关键因素之一。CAN 控制器执行在 CAN 规范里规定的完整的 CAN 协议, 它通常用于报文缓冲和验收滤波, 对外具有与主控制器和总线收发器的接口。主控制器负责执行应用的功能, 例如控制命令的发送、读传感器和处理人机接口等。它通过对 CAN 控制器进行编程, 来控制 CAN 总线的工作方式和工作状态, 以及进行数据的发送和接收。

1.2 接口电路设计

接口电路如图 2 所示。SJA1000 的 AD0 ~ AD7 地址数据复

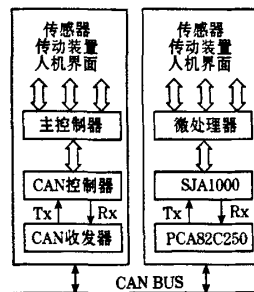


图 1 CAN 模块系统构成^[2]

用端口、ALE 地址锁存端口、RD、WR、片选 CS 端口均通过转换芯片与 FPGA 的 I/O 口相连^[3]。SJA1000 的中断输出信号 INT 连入 FPGA, 使 CAN 通信可以采用中断或查询方式。RST 端口的电路实现 SJA1000 的上电自动复位功能。MODE 模式选择端接 +5 V, 设置 SJA1000 控制器为 Intel 模式^[4]。SJA1000 的时钟晶振采用 16 MHz, 频率调整电容取 15 pF, R_{16} 为终端电阻, 设计中取 120 Ω 。CAN 驱动器 PCA82C250 的 RS 脚为工作模式选择位, 接地工作于高速模式, 接高工作于待机模式。系统通过电阻 R_{14} 将芯片设定于斜率控制模式, 电阻值为 47 k Ω , 这时 CAN 总线应工作于低速模式, 可提高 CAN 总线抵抗射频干扰的能力。在这种情况下, 可直接使用非屏蔽双绞线作为总线。

设计中有 2 点需要特别注意: 第一点是 FPGA 并没有与 SJA1000 直接相连。这是因为对于设计选取的 FPGA——XCV600^[5], 其接口电平不支持 5 V TTL 的 I/O 标准, 如果与 5 V I/O 标准的 SJA1000 直接相连, 将可能导致 FPGA 管脚电流过大, 造成器件锁死或者烧毁。为此采用双向总线收发器 74ALVC164245, 把 SJA1000 的 5 V TTL 电平信号 AD0 ~ AD7、CS、WR、RD、ALE 转换成 3.3 V I/O 标准信号, 连接到 FPGA 的

引脚上。74ALVC164245 有 2 个 8 位电平转换端口,可独立操作。其中电平信号 AD0 ~ AD7 必须按顺序连接在总线收发器的一个 8 位端口上,不可以分开。第二点是:在 CAN 控制器与收发器之间不采用光电隔离。这是因为增加光电隔离虽然能增强系统的抗干扰能力,但也会增加 CAN 总线有效回路信号

的传输延迟时间,导致通信速率或距离减少。82C250 等型号的 CAN 收发器本身具备瞬间抗干扰、降低射频干扰 (RFI) 以及实现热防护的能力,它具有的电流限制电路还提供了对总线的进一步保护功能^[6]。如果现场传输距离近、电磁干扰小,可以不采用光电隔离,以使系统达到最大的通信速率或距离。

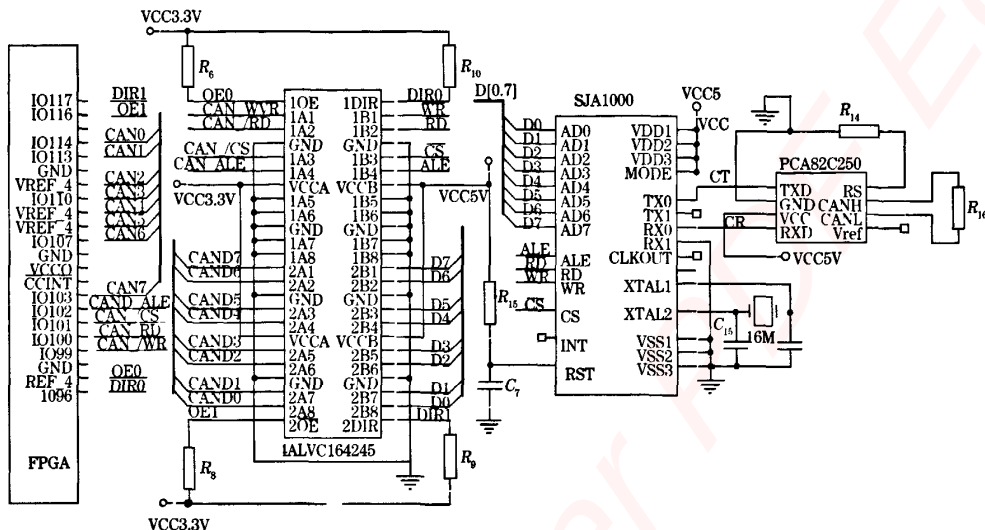


图 2 接口电路

2 系统软件设计

2.1 设计流程

FPGA 对 CAN 总线通讯模块的控制主要包括 3 部分:CAN 总线节点初始化、报文发送和报文接收。由于通讯模块对接收数据的实时性要求并不是很高,因此 CAN 总线的接收和发送采用查询方式^[7]。

2.1.1 初始化过程

系统上电后首先对 82C250 和 SJA1000 进行初始化,以确定工作主频、波特率、输出特性等。SJA1000 的初始化只有在复位模式下才可以进行,初始化主要包括工作方式的设置、验收滤波方式的设置、验收屏蔽寄存器 (AMR) 和验收代码寄存器 (ACR) 的设置、波特率参数设置和中断允许寄存器 (IER) 的设置等。在完成 SJA1000 的初始化设置以后,SJA1000 就可以回到工作状态,进行正常的通信任务。设计中使 SJA1000 工作在 PeliCan 的方式下。

2.1.2 发送过程

发送时,用户只需将待发送的数据按特定的格式组合成一帧报文,送入 SJA1000 发送缓冲区中,然后启动 SJA1000 发送即可。当然,在往 SJA1000 发送缓冲区送报文之前,必须先判断发送缓冲区是否锁定,如果锁定则等待;判断上次发送是否完成,未完成则等待发送完成。FPGA 通过 SJA1000 向 CAN 总线进行数据发送的流程图如图 3 所示。

2.1.3 接收过程

接收子程序负责节点报文的接收以及其他情况处理。接收子程序比发送子程序要复杂一些,因为在处理接收报文的过程中,同时要对诸如总线关闭、错误报警、接收溢出等情况进行处理。只有在总线正常,没有错误报警,并且接收缓冲区中有新报文,才开始进行数据接收操作。对接收缓冲区的数据读取

完毕后释放 CAN 接收缓冲区。FPGA 通过 SJA1000 接收 CAN 总线上的数据流程图如图 4 所示。

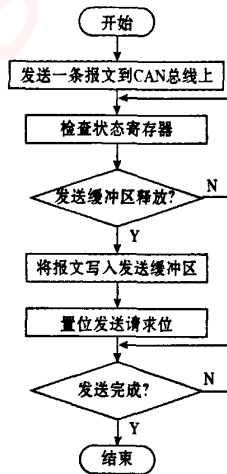


图 3 发送数据流程图

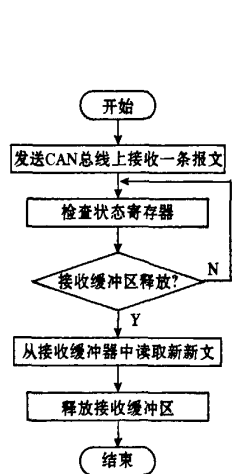


图 4 接收数据流程图

2.2 FPGA 顶层模块设计

FPGA 顶层的模块设计如图 5 所示。其中 clkdiv 模块是将输入的 50 MHz 时钟 clock 十分频后作为模块基准时钟。SJACTROL 模块是控制总线通信的主模块,而 R&W 模块则是根据主模块的信号生成 SJA1000 所需要的读写时序信号。SJACTROL 模块通过 start 和 iswr 两个信号通知 R&W 模块是否要进行读或写总线操作。若是写操作,则将地址和数据通过 Addrout 和 Dataout 传递给 R&W,R&W 将负责把数据准确地送到 SJA1000 的数据地址复用总线 ADDR,并驱动 SJA1000 接收数据,在写操作完成后发送 writeover 信号通知 SJACTROL 写操作完成。该

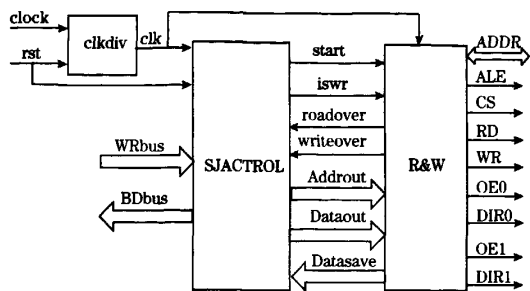


图5 顶层模块设计

操作时 R&W 根据 SJACTROL 送来的地址,从 SJA1000 的数据总线上读取数据,并将得到的数据通过 Datasave 总线返回给 SJACTROL.

SJACTROL 的状态机通过 5 个状态的转换来实现控制:空闲状态、初始化状态、查询状态、读状态、写状态。R&W 则是按照 SJA1000 的芯片数据手册进行时序逻辑设计。在编写模块时,需注意双向总线的编写技巧。双向口最好在顶层定义,否

则模块综合的时候容易出错。

3 仿真结果

FPGA 中利用 Verilog 编程产生 SJA1000 的片选信号 CS,地址锁存信号 ALE,读写信号 RD、WR。这些控制信号共同驱动 SJA1000 进行数据接收和发送。设计选取的是 virtex 系列的芯片,逻辑开发在 ISE 平台上进行。在 FPGA 的调试阶段,使用 xilinx 的应用软件——ChipScope pro(在线逻辑分析仪)来在线观察 FPGA 设计内部信号的波形,它比传统的逻辑分析仪更方便^[8]。图 6 为在线进行数据传送接收时的实际波形。

4 结束语

通过对 CAN 通信系统的分析,利用 FPGA 作为 CAN 通信节点的主控制单元,对 CAN 节点的硬件接口电路设计方案进行了详细的说明,并编写了 CAN 节点通信流程中的初始化程序、数据发送接收程序。通过软硬件的联调,实现了 CAN 总线的通信功能,系统工作状态良好。实践证明 CAN 通信节点采用 FPGA 作为核心控制单元,与传统的单片机设计相比,更加灵活并且扩展性更强。

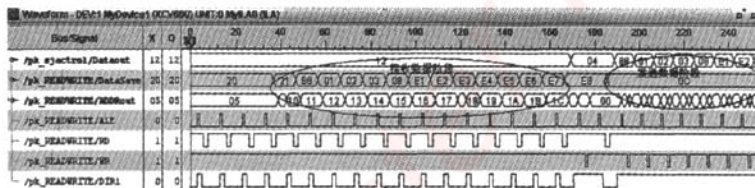


图6 SJA1000 接收和发送数据的时序仿真

参考文献:

[1] 饶云涛. 现场总线 CAN 原理与应用技术. 北京:北京航空航天大学出版社,2007.
 [2] Application note of SJA1000. Philips Semiconductors,1997.
 [3] 陈萍. 星载电场仪地面检测设备设计与研制:[学位论文]. 北京:中科院研究生院,2009.
 [4] 郭慧玲,刘羽,魏文. 基于 SJA1000 的 CAN 总线双机通讯技术的研究. 仪表技术与传感器,2008(9):46-48.
 [5] Xilinx Inc. Product Specification: Virtex 2. 5v FPGA Complete Data

sheet,2001.
 [6] PCA82C250 CAN Controller interface datasheet. Philips Semiconductors. 1997.
 [7] 张波. 基于 FPGA 的 CAN 通讯卡设计和实现:[学位论文]. 上海:复旦大学,2008.
 [8] 薛小刚,葛毅敏. Xilinx ISE 9. X FPGA/CPLD 设计指南. 北京:人民邮电出版社,2007.
 作者简介:张培坤(1986—),硕士研究生,主要研究方向为信号与信息处理. E-mail:zpkdream@163.com

(上接第 67 页)

表1 测量数据 ppm

浓度	补偿前实测值	温度补偿	湿度补偿	实测值
0	0.09	-0.000 1	-0.000 05	0.008 5
0.5	0.51	-0.005	-0.001	0.504
1	1.008	-0.011	-0.004	0.993
5	5.078	-0.06	-0.011	5.001
10	10.133	-0.125	-0.021	9.987
20	20.179	-0.23	-0.036	19.913

实验表明:该氯气检测报警器的测量范围为 0~20 ppm,加入温湿度补偿后其测量精度明显提高,精度达到 0.05 ppm,响应时间小于 60 s. 实测响应时间 $T_{90} < 35$ s. 实验时一、二阶报警值分别为 3 ppm 和 5 ppm. 当被测浓度超过响应浓度时发出声光报警。

4 结束语

系统充分利用了 LM3S1138 的功能,节省了实时时钟芯片、

A/D 采集芯片和存储芯片。所设计报警器具有一、二阶报警、时间记忆、报警锁存等功能。该仪器可广泛应用于石油化工、造纸、纺织、制药、水处理等行业环境中空气氯气含量的在线连续监测和报警,对于安全生产和健康监护都有重大的意义。

参考文献:

[1] 施文. 有毒有害气体检测仪器原理和应用. 北京:化学工业出版社,2009:1-4,78-84.
 [2] 蒋鹏,蒋路茸. 一种新型氯气浓度在线检测装置. 化工自动化及仪表,2008,35(5):42-40.
 [3] 刘春,张平. 可燃气体和有毒气体检测报警系统的设计探讨. 石油化工自动化,2006(6):1-6.
 [4] 姚毓升,解永平,文涛. 三电极电化学传感器的恒电位仪设计. 仪表技术与传感器,2009(9):23-25.
 [5] 刘同法,肖志刚,彭继卫. ARM Cortex-M3 内核微控制器快速入门与应用. 北京:北京航空航天大学出版社,2009.
 作者简介:胡敏(1985—),硕士研究生,研究生方向为安全技术及工程、安全检测技术. E-mail:humin2527@yahoo.com.cn

嵌入式资源免费下载

总线协议:

1. [基于 PCIe 驱动程序的数据传输卡 DMA 传输](#)
2. [基于 PCIe 总线协议的设备驱动开发](#)
3. [CANopen 协议介绍](#)
4. [基于 PXI 总线 RS422 数据通信卡 WDM 驱动程序设计](#)
5. [FPGA 实现 PCIe 总线 DMA 设计](#)
6. [PCI Express 协议实现与验证](#)
7. [VPX 总线技术及其实现](#)
8. [基于 Xilinx FPGA 的 PCIE 接口实现](#)
9. [基于 PCI 总线的 GPS 授时卡设计](#)
10. [基于 CPCI 标准的 6U 信号处理平台的设计](#)
11. [USB30 电路保护](#)
12. [USB30 协议分析与框架设计](#)
13. [USB 30 中的 CRC 校验原理及实现](#)
14. [基于 CPLD 的 UART 设计](#)
15. [IPMI 在 VPX 系统中的应用与设计](#)
16. [基于 CPCI 总线的 PMC 载板设计](#)
17. [基于 VPX 总线的工件台运动控制系统研究与开发](#)
18. [PCI Express 流控机制的研究与实现](#)
19. [UART16C554 的设计](#)
20. [基于 VPX 的高性能计算机设计](#)
21. [基于 CAN 总线技术的嵌入式网关设计](#)
22. [Visual C 串行通讯控件使用方法与技巧的研究](#)
23. [IEEE1588 精密时钟同步关键技术研究](#)
24. [GPS 信号发生器射频模块的一种实现方案](#)
25. [基于 CPCI 接口的视频采集卡的设计](#)
26. [基于 VPX 的 3U 信号处理平台的设计](#)
27. [基于 PCI Express 总线 1394b 网络传输系统 WDM 驱动设计](#)
28. [AT89C52 单片机与 ARINC429 航空总线接口设计](#)
29. [基于 CPCI 总线多 DSP 系统的高速主机接口设计](#)
30. [总线协议中的 CRC 及其在 SATA 通信技术中的应用](#)
31. [基于 FPGA 的 SATA 硬盘加解密控制器设计](#)
32. [Modbus 协议在串口通讯中的研究及应用](#)
33. [高可用的磁盘阵列 Cache 的设计和实现](#)
34. [RAID 阵列中高速 Cache 管理的优化](#)

35. [一种新的基于 RAID 的 CACHE 技术研究与实现](#)
36. [基于 PCIE-104 总线的高速数据接口设计](#)
37. [基于 VPX 标准的 RapidIO 交换和 Flash 存储模块设计](#)
38. [北斗卫星系统在海洋工程中的应用](#)
39. [北斗卫星系统在远洋船舶上应用的研究](#)
40. [基于 CPCI 总线的红外实时信号处理系统](#)
41. [硬件实现 RAID 与软件实现 RAID 的比较](#)
42. [基于 PCI Express 总线系统的热插拔设计](#)
43. [基于 RAID5 的磁盘阵列 Cache 的研究与实现](#)
44. [基于 PCI 总线的 MPEG2 码流播放卡驱动程序开发](#)
45. [基于磁盘阵列引擎的 RAID5 小写性能优化](#)
46. [基于 IEEE1588 的时钟同步技术研究](#)
47. [基于 Davinci 平台的 SD 卡读写优化](#)
48. [基于 PCI 总线的图像处理及传输系统的设计](#)
49. [串口和以太网通信技术在油液在线监测系统中的应用](#)
50. [USB30 数据传输协议分析及实现](#)
51. [IEEE 1588 协议在工业以太网中的实现](#)
52. [基于 USB30 的设备自定义请求实现方法](#)
53. [IEEE1588 协议在网络测控系统中的应用](#)
54. [USB30 物理层中弹性缓冲的设计与实现](#)
55. [USB30 的高速信息传输瓶颈研究](#)
56. [基于 IPv6 的 UDP 通信的实现](#)
57. [一种基于 IPv6 的流媒体传送方案研究与实现](#)
58. [基于 IPv4-IPv6 双栈的 MODBUS-TCP 协议实现](#)
59. [RS485CAN 网关设计与实现](#)
60. [MVB 周期信息的实时调度](#)
61. [RS485 和 PROFINET 网关设计](#)
62. [基于 IPv6 的 Socket 通信的实现](#)
63. [MVB 网络重复器的设计](#)
64. [一种新型 MVB 通信板的探究](#)
65. [具有 MVB 接口的输入输出设备的分析](#)
66. [基于 STM32 的 GSM 模块综合应用](#)
67. [基于 ARM7 的 MVB CAN 网关设计](#)
68. [机车车辆的 MVB CAN 总线网关设计](#)
69. [智能变电站冗余网络中 IEEE1588 协议的应用](#)
70. [CAN 总线的浅析 CANopen 协议](#)
71. [基于 CANopen 协议实现多电机系统实时控制](#)
72. [以太网时钟同步协议的研究](#)
73. [基于 CANopen 的列车通信网络实现研究](#)
74. [基于 SJA1000 的 CAN 总线智能控制系统设计](#)
75. [基于 CANopen 的运动控制单元的设计](#)
76. [基于 STM32F107VC 的 IEEE 1588 精密时钟同步分析与实现](#)

77. [分布式控制系统精确时钟同步技术](#)
78. [基于 IEEE 1588 的时钟同步技术在分布式系统中应用](#)
79. [基于 SJA1000 的 CAN 总线通讯模块的实现](#)
80. [嵌入式设备的精确时钟同步技术的研究与实现](#)
81. [基于 SJA1000 的 CAN 网桥设计](#)
82. [基于 CAN 总线分布式温室监控系统的设计与实现](#)

VxWorks:

1. [基于 VxWorks 的多任务程序设计](#)
2. [基于 VxWorks 的数据采集存储装置设计](#)
3. [Flash 文件系统分析及其在 VxWorks 中的实现](#)
4. [VxWorks 多任务编程中的异常研究](#)
5. [VxWorks 应用技巧两例](#)
6. [一种基于 VxWorks 的飞行仿真实时管理系统](#)
7. [在 VxWorks 系统中使用 TrueType 字库](#)
8. [基于 FreeType 的 VxWorks 中文显示方案](#)
9. [基于 Tilcon 的 VxWorks 简单动画开发](#)
10. [基于 Tilcon 的某武器显控系统界面设计](#)
11. [基于 Tilcon 的综合导航信息处理装置界面设计](#)
12. [VxWorks 的内存配置和管理](#)
13. [基于 VxWorks 系统的 PCI 配置与应用](#)
14. [基于 MPC8270 的 VxWorks BSP 的移植](#)
15. [Bootrom 功能改进经验谈](#)
16. [基于 VxWorks 嵌入式系统的中文平台研究与实现](#)
17. [VxBus 的 A429 接口驱动](#)
18. [基于 VxBus 和 MPC8569E 千兆网驱动开发和实现](#)
19. [一种基于 vxBus 的 PPC 与 FPGA 高速互联的驱动设计方法](#)
20. [基于 VxBus 的设备驱动开发](#)
21. [基于 VxBus 的驱动程序架构分析](#)
22. [基于 VxBus 的高速数据采集卡驱动程序开发](#)
23. [Vxworks 下的冗余 CAN 通讯模块设计](#)
24. [WindML 工业平台下开发 S1d13506 驱动及显示功能的实现](#)
25. [WindML 中 Mesa 的应用](#)
26. [VxWorks 下图形用户界面开发中双缓冲技术应用](#)
27. [VxWorks 上的一种 GUI 系统的设计与实现](#)
28. [VxWorks 环境下 socket 的实现](#)
29. [VxWorks 的 WindML 图形界面程序的框架分析](#)
30. [VxWorks 实时操作系统及其在 PC104 下以太网编程的应用](#)

31. [实时操作系统任务调度策略的研究与设计](#)
32. [军事指挥系统中 VxWorks 下汉字显示技术](#)
33. [基于 VxWorks 实时控制系统中文交互界面开发平台](#)
34. [基于 VxWorks 操作系统的 WindML 图形操控界面实现方法](#)
35. [基于 GPU FPGA 芯片原型的 VxWorks 下驱动软件开发](#)
36. [VxWorks 下的多串口卡设计](#)
37. [VxWorks 内存管理机制的研究](#)
38. [T9 输入法在 Tilcon 下的实现](#)
39. [基于 VxWorks 的 WindML 图形界面开发方法](#)
40. [基于 Tilcon 的 IO 控制板可视化测试软件的设计和实现](#)
41. [基于 VxWorks 的通信服务器实时多任务软件设计](#)
42. [基于 VXWORKS 的 RS485MVB 网关的设计与实现](#)
43. [实时操作系统 VxWorks 在微机保护中的应用](#)
44. [基于 VxWorks 的多任务程序设计及通信管理](#)
45. [基于 Tilcon 的 VxWorks 图形界面开发技术](#)
46. [嵌入式图形系统 Tilcon 及应用研究](#)
47. [基于 VxWorks 的数据采集与重演软件的图形界面的设计与实现](#)
48. [基于嵌入式的 Tilcon 用户图形界面设计与开发](#)
49. [基于 Tilcon 的交互式多页面的设计](#)
50. [基于 Tilcon 的嵌入式系统人机界面开发技术](#)
51. [基于 Tilcon 的指控系统多任务人机交互软件设计](#)
52. [基于 Tilcon 航海标绘台界面设计](#)
53. [基于 Tornado 和 Tilcon 的嵌入式 GIS 图形编辑软件的开发](#)

Linux:

1. [Linux 程序设计第三版及源代码](#)
2. [NAND FLASH 文件系统的设计与实现](#)
3. [多通道串行通信设备的 Linux 驱动程序实现](#)
4. [Zsh 开发指南-数组](#)
5. [常用 GDB 命令中文速览](#)
6. [嵌入式 C 进阶之道](#)
7. [Linux 串口编程实例](#)
8. [基于 Yocto Project 的嵌入式应用设计](#)
9. [Android 应用的反编译](#)
10. [基于 Android 行为的加密应用系统研究](#)
11. [嵌入式 Linux 系统移植步步通](#)
12. [嵌入式 C++ 语言精华文章集锦](#)
13. [基于 Linux 的高性能服务器端的设计与研究](#)

14. [S3C6410 移植 Android 内核](#)
15. [Android 开发指南中文版](#)
16. [图解 Linux 操作系统架构设计与实现原理（第二版）](#)
17. [如何在 Ubuntu 和 Linux Mint 下轻松升级 Linux 内核](#)
18. [Android 简单 mp3 播放器源码](#)
19. [嵌入式 Linux 系统实时性的研究](#)
20. [Android 嵌入式系统架构及内核浅析](#)
21. [基于嵌入式 Linux 操作系统内核实时性的改进方法研究](#)
22. [Linux TCP IP 协议详解](#)
23. [Linux 桌面环境下内存去重技术的研究与实现](#)
24. [掌握 Android 7.0 新增特性 Quick Settings](#)
25. [Android 应用逆向分析方法研究](#)
26. [Android 操作系统的课程教学](#)
27. [Android 智能手机操作系统的研究](#)
28. [Android 英文朗读功能的实现](#)
29. [基于 Yocto 订制嵌入式 Linux 发行版](#)
30. [基于嵌入式 Linux 的网络设备驱动设计与实现](#)
31. [如何高效学习嵌入式](#)
32. [基于 Android 平台的 GPS 定位系统的设计与实现](#)
33. [LINUX ARM 下的 USB 驱动开发](#)
34. [Linux 下基于 I2C 协议的 RTC 驱动开发](#)
35. [嵌入式下 Linux 系统设备驱动程序的开发](#)
36. [基于嵌入式 Linux 的 SD 卡驱动程序的设计与实现](#)
37. [Linux 系统中进程调度策略](#)
38. [嵌入式 Linux 实时性方法](#)
39. [基于实时 Linux 计算机联锁系统实时性分析与改进](#)
40. [基于嵌入式 Linux 下的 USB30 驱动程序开发方法研究](#)
41. [Android 手机应用开发之音乐资源播放器](#)
42. [Linux 下以太网的 IPv6 隧道技术的实现](#)
43. [Research and design of mobile learning platform based on Android](#)
44. [基于 linux 和 Qt 的串口通信调试器调的设计及应用](#)
45. [在 Linux 平台上基于 QT 的动态图像采集系统的设计](#)
46. [基于 Android 平台的医护查房系统的研究与设计](#)
47. [基于 Android 平台的软件自动化监控工具的设计开发](#)
48. [基于 Android 的视频软硬解码及渲染的对比研究与实现](#)
49. [基于 Android 移动设备的加速度传感器技术研究](#)
50. [基于 Android 系统振动测试仪研究](#)
51. [基于缓存竞争优化的 Linux 进程调度策略](#)

Windows CE:

1. [Windows CE.NET 下 YAFFS 文件系统 NAND Flash 驱动程序设计](#)
2. [Windows CE 的 CAN 总线驱动程序设计](#)
3. [基于 Windows CE.NET 的 ADC 驱动程序实现与应用的研究](#)
4. [基于 Windows CE.NET 平台的串行通信实现](#)
5. [基于 Windows CE.NET 下的 GPRS 模块的研究与开发](#)
6. [win2k 下 NTFS 分区用 ntldr 加载进 dos 源代码](#)
7. [Windows 下的 USB 设备驱动程序开发](#)
8. [WinCE 的大容量程控数据传输解决方案设计](#)
9. [WinCE6.0 安装开发详解](#)
10. [DOS 下仿 Windows 的自带计算器程序 C 源码](#)
11. [G726 局域网语音通话程序和源代码](#)
12. [WinCE 主板加载第三方驱动程序的方法](#)
13. [WinCE 下的注册表编辑程序和源代码](#)
14. [WinCE 串口通信源代码](#)
15. [WINCE 的 SD 卡程序\[可实现读写的源码\]](#)
16. [基于 WinCE 的 BootLoader 研究](#)
17. [Windows CE 环境下无线网卡的自动安装](#)
18. [基于 Windows CE 的可视电话的研究与实现](#)
19. [基于 WinCE 的嵌入式图像采集系统设计](#)
20. [基于 ARM 与 WinCE 的掌纹鉴别系统](#)
21. [DCOM 协议在网络冗余环境下的应用](#)
22. [Windows XP Embedded 在变电站通信管理机中的应用](#)
23. [XPE 在多功能显控台上的开发与应用](#)
24. [基于 Windows XP Embedded 的 LKJ2000 仿真系统设计与实现](#)
25. [虚拟仪器的 Windows XP Embedded 操作系统开发](#)
26. [基于 EVC 的嵌入式导航电子地图设计](#)
27. [基于 XPEmbedded 的警务区 SMS 指挥平台的设计与实现](#)
28. [基于 XPE 的数字残币兑换工具开发](#)

PowerPC:

1. [Freescale MPC8536 开发板原理图](#)
2. [基于 MPC8548E 的固件设计](#)
3. [基于 MPC8548E 的嵌入式数据处理系统设计](#)
4. [基于 PowerPC 嵌入式网络通信平台的实现](#)
5. [PowerPC 在车辆显控系统中的应用](#)

6. [基于 PowerPC 的单板计算机的设计](#)
7. [用 PowerPC860 实现 FPGA 配置](#)
8. [基于 MPC8247 嵌入式电力交换系统的设计与实现](#)
9. [基于设备树的 MPC8247 嵌入式 Linux 系统开发](#)
10. [基于 MPC8313E 嵌入式系统 UBoot 的移植](#)
11. [基于 PowerPC 处理器 SMP 系统的 UBoot 移植](#)
12. [基于 PowerPC 双核处理器嵌入式系统 UBoot 移植](#)
13. [基于 PowerPC 的雷达通用处理机设计](#)
14. [PowerPC 平台引导加载程序的移植](#)
15. [基于 PowerPC 嵌入式内核的多串口通信扩展设计](#)
16. [基于 PowerPC 的多网口系统抗干扰设计](#)
17. [基于 MPC860T 与 VxWorks 的图形界面设计](#)
18. [基于 MPC8260 处理器的 PPMC 系统](#)
19. [基于 PowerPC 的控制器研究与设计](#)
20. [基于 PowerPC 的模拟量输入接口扩展](#)
21. [基于 PowerPC 的车载通信系统设计](#)
22. [基于 PowerPC 的嵌入式系统中通用 I/O 口的扩展方法](#)
23. [基于 PowerPC440GP 型微控制器的嵌入式系统设计与研究](#)
24. [基于双 PowerPC 7447A 处理器的嵌入式系统硬件设计](#)
25. [基于 PowerPC603e 通用处理模块的设计与实现](#)
26. [嵌入式微机 MPC555 驻留片内监控器的开发与实现](#)
27. [基于 PowerPC 和 DSP 的电能质量在线监测装置的研制](#)
28. [基于 PowerPC 架构多核处理器嵌入式系统硬件设计](#)
29. [基于 PowerPC 的多屏系统设计](#)
30. [基于 PowerPC 的嵌入式 SMP 系统设计](#)

ARM:

1. [基于 DiskOnChip 2000 的驱动程序设计及应用](#)
2. [基于 ARM 体系的 PC-104 总线设计](#)
3. [基于 ARM 的嵌入式系统中断处理机制研究](#)
4. [设计 ARM 的中断处理](#)
5. [基于 ARM 的数据采集系统并行总线的驱动设计](#)
6. [S3C2410 下的 TFT LCD 驱动源码](#)
7. [STM32 SD 卡移植 FATFS 文件系统源码](#)
8. [STM32 ADC 多通道源码](#)
9. [ARM Linux 在 EP7312 上的移植](#)
10. [ARM 经典 300 问](#)

11. [基于 S5PV210 的频谱监测设备嵌入式系统设计与实现](#)
12. [Uboot 中 start.S 源码的指令级的详尽解析](#)
13. [基于 ARM9 的嵌入式 Zigbee 网关设计与实现](#)
14. [基于 S3C6410 处理器的嵌入式 Linux 系统移植](#)
15. [CortexA8 平台的 \$\mu\$ C-OS II 及 LwIP 协议栈的移植与实现](#)
16. [基于 ARM 的嵌入式 Linux 无线网卡设备驱动设计](#)
17. [ARM S3C2440 Linux ADC 驱动](#)
18. [ARM S3C2440 Linux 触摸屏驱动](#)
19. [Linux 和 Cortex-A8 的视频处理及数字微波传输系统设计](#)
20. [Nand Flash 启动模式下的 Uboot 移植](#)
21. [基于 ARM 处理器的 UART 设计](#)
22. [ARM CortexM3 处理器故障的分析与处理](#)
23. [ARM 微处理器启动和调试浅析](#)
24. [基于 ARM 系统下映像文件的执行与中断运行机制的实现](#)
25. [中断调用方式的 ARM 二次开发接口设计](#)
26. [ARM11 嵌入式系统 Linux 下 LCD 的驱动设计](#)
27. [Uboot 在 S3C2440 上的移植](#)
28. [基于 ARM11 的嵌入式无线视频终端的设计](#)
29. [基于 S3C6410 的 Uboot 分析与移植](#)
30. [基于 ARM 嵌入式系统的高保真无损音乐播放器设计](#)
31. [UBoot 在 Mini6410 上的移植](#)
32. [基于 ARM11 的嵌入式 Linux NAND FLASH 模拟 U 盘挂载分析与实现](#)
33. [基于 ARM11 的电源完整性分析](#)
34. [基于 ARM S3C6410 的 uboot 分析与移植](#)
35. [基于 S5PC100 移动视频监控终端的设计与实现](#)

Hardware:

1. [DSP 电源的典型设计](#)
2. [高频脉冲电源设计](#)
3. [电源的综合保护设计](#)
4. [任意波形电源的设计](#)
5. [高速 PCB 信号完整性分析及应用](#)
6. [DM642 高速图像采集系统的电磁干扰设计](#)
7. [使用 COMExpress Nano 工控板实现 IP 调度设备](#)
8. [基于 COM Express 架构的数据记录仪的设计与实现](#)
9. [基于 COM Express 的信号系统逻辑运算单元设计](#)
10. [基于 COM Express 的回波预处理模块设计](#)
11. [基于 X86 平台的简单多任务内核的分析与实现](#)

12. [基于 UEFI Shell 的 PreOS Application 的开发与研究](#)
13. [基于 UEFI 固件的恶意代码防范技术研究](#)
14. [MIPS 架构计算机平台的支持固件研究](#)
15. [基于 UEFI 固件的攻击验证技术研究](#)
16. [基于 UEFI 的 Application 和 Driver 的分析与开发](#)
17. [基于 UEFI 的可信 BIOS 研究与实现](#)
18. [基于 UEFI 的国产计算机平台 BIOS 研究](#)
19. [基于 UEFI 的安全模块设计分析](#)
20. [基于 FPGA Nios II 的等精度频率计设计](#)
21. [基于 FPGA 的 SOPC 设计](#)
22. [基于 SOPC 基本信号产生器的设计与实现](#)
23. [基于龙芯平台的 PMON 研究与开发](#)
24. [基于 X86 平台的嵌入式 BIOS 可配置设计](#)
25. [基于龙芯 2F 架构的 PMON 分析与优化](#)
26. [CPU 与 GPU 之间接口电路的设计与实现](#)
27. [基于龙芯 1A 平台的 PMON 源码编译和启动分析](#)
28. [基于 PC104 工控机的嵌入式直流监控装置的设计](#)
29. [GPGPU 技术研究与发展](#)
30. [GPU 实现的高速 FIR 数字滤波算法](#)
31. [一种基于 CPUGPU 异构计算的混合编程模型](#)
32. [面向 OpenCL 模型的 GPU 性能优化](#)
33. [基于 GPU 的 FDTD 算法](#)
34. [基于 GPU 的瑕疵检测](#)
35. [基于 GPU 通用计算的分析与研究](#)
36. [面向 OpenCL 架构的 GPGPU 量化性能模型](#)
37. [基于 OpenCL 的图像积分图算法优化研究](#)
38. [基于 OpenCL 的均值平移算法在多个众核平台的性能优化研究](#)
39. [基于 OpenCL 的异构系统并行编程](#)
40. [嵌入式系统中热备份双机切换技术研究](#)

Programming:

1. [计算机软件基础数据结构 - 算法](#)
2. [高级数据结构对算法的优化](#)
3. [零基础学算法](#)
4. [Linux 环境下基于 TCP 的 Socket 编程浅析](#)
5. [Linux 环境下基于 UDP 的 socket 编程浅析](#)
6. [基于 Socket 的网络编程技术及其实现](#)

7. [数据结构考题 - 第 1 章 绪论](#)
8. [数据结构考题 - 第 2 章 线性表](#)
9. [数据结构考题 - 第 2 章 线性表 - 答案](#)
10. [基于小波变换与偏微分方程的图像分解及边缘检测](#)
11. [基于图像能量的布匹瑕疵检测方法](#)
12. [基于 OpenCL 的拉普拉斯图像增强算法优化研究](#)
13. [异构平台上基于 OpenCL 的 FFT 实现与优化](#)
14. [数据结构考题 - 第 4 章 串](#)
15. [数据结构考题 - 第 4 章 串答案](#)
- 16.

FPGA / CPLD:

1. [一种基于并行处理器的快速车道线检测系统及 FPGA 实现](#)
2. [基于 FPGA 和 DSP 的 DBF 实现](#)
3. [高速浮点运算单元的 FPGA 实现](#)
4. [DLMS 算法的脉动阵结构设计及 FPGA 实现](#)
5. [一种基于 FPGA 的 3DES 加密算法实现](#)
6. [可编程 FIR 滤波器的 FPGA 实现](#)
7. [基于 FPGA 的 AES 加密算法的高速实现](#)
8. [基于 FPGA 的精确时钟同步方法](#)
9. [应用分布式算法在 FPGA 平台实现 FIR 低通滤波器](#)
10. [流水线技术在用 FPGA 实现高速 DSP 运算中的应用](#)
- 11.